

ИНСТИТУТ ЯДЕРНОЙ ФИЗИКИ
СО АН СССР

О.В.Жиров, П.К.Лебедев

ОБ ОБРАЗОВАНИИ АДРОНОВ НИЗКИХ ЭНЕРГИЙ
В ПРОТОН—ЯДЕРНЫХ СТОЛКНОВЕНИЯХ
ПРИ 70 ГэВ

ПРЕПРИНТ 82—88



Новосибирск

ОБ ОБРАЗОВАНИИ АДРОНОВ НИЗКИХ ЭНЕРГИЙ
В ПРОТОН-ЯДЕРНЫХ СТОЛКНОВЕНИЯХ ПРИ
70 ГэВ

О.В.Жиров, П.К.Лебедев

Аннотация

В работе сравниваются предсказания аддитивной кварковой модели /1/ и квазийкональной модели /2/ образования вторичных адронов в протон-ядерных столкновениях при 70 ГэВ с экспериментальными данными работ /3,4/ по A-зависимости выходов антипротонов и отрицательных пионов с импульсами до 3 ГэВ/с под нулевым углом. Получены модельные оценки длин формирования этих адронов.

I. Введение

Важная роль в выяснении динамики сильных взаимодействий при высоких энергиях принадлежит исследованиям соударений адронов с атомными ядрами. Атомное ядро в таких процессах используется не только в качестве мишени, но и играет роль анализатора процесса образования вторичных адронов. Соответственно, изучаемые в эксперименте зависимости спектров вторичных адронов от размера ядра A содержат информацию фундаментального характера о механизмах образования вторичных адронов и о динамике этого процесса (см., например, обзоры [5+7]).

Инклузивные спектры вторичных частиц в области фрагментации пучка на современных ускорителях изучены довольно подробно. Анализ поведения спектров вторичных адронов в этой области [7], в основном, подтверждает предсказания аддитивной кварковой модели адронов. Предсказания этой модели согласуются с данными в предположении, что адроны с импульсом $P = 6\text{--}10 \text{ ГэВ}/c$ обра-зуются за пределами тяжелых ядер [7].

Детальная экспериментальная информация об инклузивных спектрах в медленной части спектра вторичных частиц, включаящей теоретически интересные центральную область взаимодействия и область фрагментации ядра, практически отсутствует. Однако, обилие обсуждаемых в литературе [1, 2, 5+8] моделей отражает интерес к этой части спектра вторичных частиц.

Предлагаемая работа посвящена анализу недавно проведенных измерений [3, 4] выходов отрицательных пионов и антипротонов, образующихся в центральной области в соударениях 70 ГэВ протонов с ядрами Al и W .

В своем рассмотрении мы ограничимся простейшими моделями образования адронов на ядрах каскадного типа: аддитивной кварковой (АКМ) [1] и квазизойкональной [2] моделями, позволяющих получить предсказание, практически не содержащих свободных параметров, кроме длины формирования адронов. В расчетах мы пре-небрегаем коллективными эффектами при образовании вторичных адронов: в каждом подсоударении налетающего протона в ядре вторичные частицы образуются независимо. Кроме того, в расчетах учи-тывалось поглощение вторичных частиц в ядре: считалось, что полное адрон-нуклонное сечение вторичного адрона "включается" на расстоянии $\ell_\varphi = P/\mu^2$ от точки взаимодействия первичного ад-

рона. Сравнение предсказаний моделей с экспериментальными данными [3,4] производилось для A -зависимостей выходов антипротонов и пионов. В результате сравнения были получены модельные оценки параметра μ^2 для этих адронов.

2. Описание моделей, используемых в расчетах

Конкретные расчеты представляют собой моделирование методом Монте-Карло каскада как первичного адрона, так и образующихся вторичных адронов. Более подробное обсуждение используемой процедуры содержится в работе [8].

В расчетах использовалось Саксон-Будовское распределение плотности ядерного вещества:

$$\rho(r) = \rho_0 \cdot (1 + \exp[-(r-R)/\Delta])^{-1}$$

с параметрами

$$\rho_0 = \frac{3A}{4\pi R^3 [1 + (\frac{\pi\Delta}{R})^2]}.$$

$$R = 1,14 \cdot 10^{-13} A^{1/3} \text{ см}, \quad \Delta = 0,545 \cdot 10^{-13} \text{ см},$$

взятыми из работы [2].

Как будет видно из дальнейшего, расчеты спектров образования вторичных адронов в обсуждаемых моделях сводятся, в конечном счете, к суммированию спектров вторичных частиц, образующихся в pN -соударениях. Мы использовали параметризации экспериментальных спектров вторичных адронов для pN -соударений из работы [8].

2.1. В квазийкональной модели [2] принимается, что взаимодействие налетающего протона в ядре состоит из v парных pN -соударений, так что спектр вторичных частиц в центральной области сводится к сумме спектров вторичных частиц от каждого из подсоударений с нуклонами ядра:

$$E \frac{d^3N}{dp^3} \Big|_{pA} = \sum_v P_{pA}(v) \sum_{E_1, \dots, E_v} W(E_0; E_1, \dots, E_v) \sum_{i=1}^v E \frac{d^3N_{pN}}{dp^3}(E_p = E_i) \quad (I)$$

где $P_{pA}(v)$ – нормированная вероятность v -кратного взаимодействия налетающего протона в ядре, определяемая длиной его свободного пробега в ядерном веществе при сечении неупругого вза-

имодействия $\sigma_{inel}^{pN} = 30$ мбарн;

$W(E_0; E_1, \dots, E_v)$ – функция распределения энергии между v внутриядерными pN -соударениями. В этой модели все подсоударения предполагаются равноправными [2]: $W(E_0; E_1, \dots, E_v) = c_v \cdot \delta(E_0 - \sum_i^v E_i)$ (c_v – нормировочная константа);

$E \frac{d^3N_{pN}}{dp^3}(E_p = E_i)$ – параметризованный спектр вторичных адронов при энергии налетающего протона в подсоударении $E_p = E_i$ ($i = 1, \dots, v$).

2.2. Аддитивная кварковая модель [1]. Основное отличие используемого нами варианта^{*} АКМ от сформулированной выше КЭМ состоит в том, что вместо одного налетающего протона, взаимодействующего с нуклонами ядра как целое, рассматривается три составляющих кварка с сечением взаимодействия $\sigma_{qN} = 1/3 \sigma_{pN}$. При этом каждое qA -взаимодействие происходит независимо и носит квазийкональный характер.

В результате, в этой модели центральная область спектра вторичных частиц для протон-ядерного взаимодействия описывается формулой аналогичной выражению (I) для КЭМ:

$$E \frac{d^3N}{dp^3} \Big|_{pA} = v_p \sum_v P_{qA}(v) \sum_{E_{q1}, \dots, E_{qv}} W(\frac{E_0}{3}; E_{q1}, \dots, E_{qv}) \sum_{i=1}^v E \frac{d^3N_{qN}}{dp^3}(E_{qi} = E_{qi}) \quad (2)$$

Здесь и ниже v – число составляющих кварков в протоне;

$v_p = \frac{3 \cdot 6^{qA}}{\sigma_{inel}^{pN}}$ – среднее число составляющих кварков провзаимодействовавших в ядре, $\sigma_{inel}^{qN} = 10$ мбарн;

$P_{qA}(v)$ – нормированная вероятность v -кратного взаимодействия составляющего кварка в ядре;

$W(\frac{E_0}{3}; E_{q1}, \dots, E_{qv})$ – функция распределения энергии между внутриядерными qN -соударениями. Все соударения каждого кварка в ядре равноправны;

$E \frac{d^3N_{qN}}{dp^3}(E_{qi} = E_{qi})$ – спектр вторичных адронов для qN -соударения при энергии составляющего кварка $E_{qi} = E_{qi}$.

* Из соображений простоты другой вариант АКМ [12] нами не рассматривается.

Согласно АКМ в pN -соударении образование вторичных частиц, в основном, происходит в результате взаимодействия с нуклоном-мишенью лишь одного из кварков налетающего протона. Остальные два кварка - "спектейтора" пролетают, образуя продукты фрагментации первичного протона. Тем самым, в центральной области спектра вторичных частиц и в области фрагментации мишени, где вкладом продуктов фрагментации первичного протона можно пренебречь, справедливо соотношение:

$$E \frac{d^3 N_{qN}}{dp^3}(E_\rho) \approx E \frac{d^3 N_{pN}}{dp^3}(E_p = 3E_\rho)$$

где также учтено, что каждый из составляющих кварков несет в среднем треть импульса первичного протона. Таким образом, и в рамках АКМ расчеты спектров вторичных адронов на ядре удается свести к суммированию параметризованных спектров вторичных адронов для pN -соударений.

2.3. Сравнение предсказаний моделей

На первый взгляд предсказание для A-зависимостей спектров вторичных частиц в АКМ и КЭМ должны совпадать, так как число центров генерации вторичных адронов в обоих моделях при любом A одинаково.

Действительно, в АКМ каждый составляющий кварк q , в среднем взаимодействует в ядре ν_{qA} раз

$$\nu_{qA} = \frac{A \cdot \sigma_{qN}}{\sigma_{qA}}$$

При этом из налетающего протона в ядре взаимодействует ν_p кварков:

$$\nu_p = \frac{A \cdot \sigma_{qN}}{\sigma_{qA}}$$

Отсюда число qN -взаимодействий всех составляющих кварков налетающего протона в ядре равно

$$\langle \nu \rangle_{AKM} = \nu_p \cdot \nu_{qA} = \frac{3\sigma_{qA}}{\sigma_{pA}} \cdot \frac{A \sigma_{qN}}{\sigma_{qA}} = \frac{3A \sigma_{qN}}{\sigma_{pA}} = \frac{A \sigma_{pN}}{\sigma_{pA}}$$

Здесь использовано $3\sigma_{qN} \equiv \sigma_{pN}$

В КЭМ число центров генерации вторичных адронов равно среднему числу взаимодействий налетающего протона в ядре:

$$\langle \nu \rangle_{KEM} = \frac{A \sigma_{pN}}{\sigma_{pA}} = \langle \nu \rangle_{AKM}$$

Однако зависимость от A средней энергии, приходящейся на каждый центр генерации вторичных адронов различна. В КЭМ с ростом A эта энергия убывает обратно пропорционально числу внутриядерных подсоударений налетающего протона ($\langle E \rangle_{KEM} \sim 1/\langle \nu \rangle_{KEM}$), тогда как в АКМ она убывает обратно пропорционально среднему числу взаимодействий каждого из составляющих кварков

($\langle E \rangle_{AKM} \sim 1/\nu_{qA}$) Из-за того, что $\nu_{qA} < \langle \nu \rangle_{KEM}$ средняя энергия, приходящаяся на центр генерации с ростом A в АКМ убывает медленнее, чем в КЭМ. Соответствующее уменьшение выхода вторичных частиц в каждом из центров генерации в АКМ оказывается менее существенным, чем в КЭМ, поэтому АКМ предсказывает более быстрый рост множественности с A, чем КЭМ.

2.4. Учет внутриядерных взаимодействий адронов

В расчетах по обеим моделям считалось, что образовавшиеся в соударениях вторичные частицы, начинают взаимодействовать в ядре-мишени с полным адронным сечением на расстоянии l_p от точки соударения.

При учете упругих перерассеяний адронов использовались следующие параметризации сечений

$$\sigma_{el}^{pp} = 44 \bar{p}^{-1/2} (\text{мбарн}) \quad \text{при } 0,6 \text{ ГэВ/с} < p < 20 \text{ ГэВ/с};$$

$$\sigma_{el}^{\pi^-p} = 18/p (\text{мбарн}) \quad \text{при } 1,0 \text{ ГэВ/с} < p < 4 \text{ ГэВ/с}.$$

Угловая зависимость сечения упругого рассеяния принималась в виде:

$$\frac{d\sigma_{el}}{dt} \sim e^{Bt},$$

где t - квадрат переданного импульса. Здесь $B = 12(\text{ГэВ/с})^{-2}$ для pN -рассеяния и $B = 12,5(\text{ГэВ/с})^{-2}$ для π^-N -рассеяния.

Для сечений неупругого взаимодействия антипротонов и отрицательных пионов использованы параметризации

$$\sigma_{inel}^{pN} = \begin{cases} 0 & \text{при } p \leq 1,6 \text{ ГэВ/с}; \\ 20 \text{ мбарн} & \text{при } 1,6 \text{ ГэВ/с} < p < 20 \text{ ГэВ/с}; \end{cases}$$

$$\sigma_{ann}^{pN} = 60/\sqrt{p} \text{ (мбарн) при } 0,6 \text{ ГэВ/с} < p < 10 \text{ ГэВ/с}.$$

и

$$\sigma_{inel}^{pN} \approx 24 \text{ мбарн при } 1,0 \text{ ГэВ/с} < p < 4 \text{ ГэВ/с}.$$

Угловая зависимость сечений неупругого рассеяния параметризована в виде:

$$\frac{d\sigma}{dp_\perp^2} \sim e^{-B p_\perp^2},$$

где $B = 6(\text{ГэВ/с})^{-2}$ для антипротонов и $B = 8(\text{ГэВ/с})^{-2}$ - для отрицательных пионов [9].

3. Сравнение с данными и обсуждение результатов

Сравнение предсказаний теоретических моделей с экспериментальными данными более предпочтительно производить для A-зависимостей выходов адронов, чем для сечений их образования. Удобно использовать величину

$$\lambda = \ln \left[\left(E \frac{d^3 N}{dp^3} \right)_{pA_2} / \left(E \frac{d^3 N}{dp^3} \right)_{pA_1} \right] / \ln (A_2 / A_1).$$

В этом случае и расчеты, и экспериментальные данные не содержат возможных неопределенностей в нормировке сечений, кроме того, точность эксперимента при определении A-зависимостей сечений, как правило, более высокая.

В соответствии с выбором мишней эксперимента [3,4] расчеты A-зависимости выходов антипротонов и отрицательных пионов производились при $A_1 = 27$ (Al) и $A_2 = 184$ (W). Результаты расчета A-зависимостей выходов и отношение выходов антипротонов и отрицательных пионов приведены на Рис. I+3. Цифры около кривых отвечают разным значениям параметра μ^2 , определяющего длину формирования адронов $l_{ap} = p/\mu^2$. Указанная на кривых неточность расчета кривых $\Delta \lambda \approx 0,03 \pm 0,05$ обусловлена в нашем случае неточностью используемых в расчетах параметризаций спектров вторичных $\bar{\pi}$ и \bar{p} , образующихся в pN -соударениях.

a) Антипротоны

Из рис. Ia видно, что предсказания КЭМ хорошо описывают отсутствие A-зависимости выхода антипротонов в этой области им-

пульсов при значении параметра $\mu^2 \approx 0 \pm 0,05 \text{ ГэВ}^2$. Столь малое значение параметра μ^2 соответствует образованию антипротонов с импульсом $\sim 1 \text{ ГэВ/с}$ за пределами ядра.

Слабая A-зависимость выхода антипротонов в КЭМ, даже при столь слабом их поглощении, объясняется тем обстоятельством, что в КЭМ увеличение числа внутриядерных взаимодействий первичного протона при 70 ГэВ не дает заметного выигрыша в выходе вторичных адронов в этой области импульсов из-за быстрого падения спектров вторичных антипротонов с уменьшением энергии подсодарения.

Следует отметить, что близкое значение для параметра $\mu^2 \approx 0,03 \pm 0,05 \text{ ГэВ}^2$ было получено в работе [7] на основе рассмотрения результатов эксперимента [10] по выходу антипротонов и пионов малых импульсов при взаимодействии 10 ГэВ протонов с ядрами. Свои данные авторы работы [10] интерпретируют как указание на слабое поглощение антипротонов малых импульсов в ядрах.

Очевидно, что оценка длины формирования вторичных адронов и роли внутриядерного поглощения существенно зависит от свойств используемой модели образования вторичных адронов. В модели, которая предсказывает более быстрый рост выхода адронов в зависимости от атомного веса ядра-мишени A , для согласования с экспериментом более сильным должно быть и ядерное поглощение этих адронов.

Именно, в рассматриваемом нами варианте АКМ (см., рис. Iб) предсказание A-зависимости выходов антипротонов согласуется с экспериментом при значении параметра $\mu^2 \approx 0,2 \text{ ГэВ}^2$ и нет необходимости в предположении о слабом поглощении антипротонов с импульсом $\sim 1 \pm 3 \text{ ГэВ/с}$ в ядрах.

b) Отрицательные пионы

Для отрицательных пионов обеими моделями предсказывается сильная A-зависимость выходов отрицательных пионов в интересующей нас области импульсов (p_π до 3 ГэВ/с) и, поэтому, для согласия с экспериментом необходимо ввести существенно большее, чем для антипротонов, поглощение в ядре.

Из рис. 2а, б видно, что предсказания КЭМ и АКМ согласуются с экспериментальными данными при значениях параметра $\mu^2 \approx 0,25 \pm 2 \text{ ГэВ}^2$ в КЭМ и $\mu^2 \gtrsim 2 \text{ ГэВ}^2$ - в АКМ. Получен-

ные в КЭМ оценки величины μ^2 для пионов ($\mu^2 \approx 0,25+2,0 \text{ ГэВ}^2$) формально находятся в пределах обсуждаемых в литературе значений этой величины [7, II]. Значение $\mu^2 \gtrsim 2 \text{ ГэВ}^2$, полученное нами в АКМ, существенно превосходит ограничение для этой величины $\mu^2 \leq 0,2+0,3 \text{ ГэВ}^2$, следующее из анализа предсказаний АКМ для спектров вторичных адронов в области фрагментации налетающей частицы [7]. Кроме того, значение параметра $\mu^2 \sim 2 \text{ ГэВ}^2$ выглядит неестественным и по другой причине. Действительно, длина формирования пиона с импульсом $p \sim 2 \text{ ГэВ}/c$ в этом случае оказывается существенно меньше характерного адронного размера ($\sim 1 \text{ ферми}$): $\ell_p = \frac{2 \text{ ГэВ}/c}{2 \text{ ГэВ}} = 1 \text{ ГэВ}^{-1} = 0,2 \text{ ферми}$. Возмож-

ная причина получения завышенной оценки $\mu^2 \sim 2 \text{ ГэВ}^2$ для пионов состоит в том, что при анализе не учитывался вклад фрагментационного механизма образования частиц, который может оказаться существенным для пионов в этой области импульсов. В самом деле, быстрота пиона с импульсом $2 \text{ ГэВ}/c$ равна $y_T = 3,4$; в то время, как максимум распределения пионов по быстротам при энергии 70 ГэВ находится при $y_0 = 2+2,5$; а быстрота налетающего протона с энергией 70 ГэВ равна $y_p = \ln \frac{2E_0}{m_p} = 5,0$.

в) Отношение выходов антипротонов и отрицательных пионов

При исследовании процесса образования частиц в адрон-ядерных соударениях, особенно в области малых импульсов рождающихся адронов, возникает потребность в отделении эффектов внутриядерного поглощения частиц от механизмов их генерации. С этой целью представляет интерес изучение выходов адронов с большой разницей сечений их внутриядерного поглощения, например, таких как $\bar{p} \pi^- (\bar{p}/\pi^-)$, $\bar{p} \pi^- (\bar{p}/\pi^-)$. С другой стороны, отношение выходов адронов экспериментально измеряется, как правило, с высокой точностью, определяемой практически лишь статистикой и содержит минимум систематических ошибок.

На рис.3а,б приведено сравнение предсказаний для A-зависимости отношений выходов антипротонов и отрицательных пионов в КЭМ и АКМ. Согласие предсказаний КЭМ с экспериментом достигается при значении параметра $\mu_{\bar{p}}^2 = 0$ и значениях этого параметра для пионов в интервале $\mu_{\pi^-}^2 = 0,5+2 \text{ ГэВ}^2$. В то же время, при значении параметра $\mu_{\bar{p}}^2 = 0,1 \text{ ГэВ}^2$ для пионов значение этого параметра должно быть равно $\mu_{\pi^-}^2 \approx 2 \text{ ГэВ}^2$. Как указывалось

выше, значение $\mu_{\pi^-}^2 \sim 2 \text{ ГэВ}^2$ не представляется правдоподобным, т.к. длина формирования пионов малых импульсов становится существенно меньше характерного адронного размера.

Экспериментально наблюдаемая [3,4,10] независимость от A отношения выходов антипротонов и отрицательных пионов в широком интервале импульсов рождающихся адронов в работе [10] интерпретировалась как результат слабого поглощения антипротонов в ядре. Рис.3б иллюстрирует, что такое отсутствие A-зависимости может быть случайным: в АКМ согласие достигается при

$\mu_{\bar{p}}^2 = 2 \text{ ГэВ}^2$ и $\mu_{\pi^-}^2 = 0,1+0,25 \text{ ГэВ}^2$, что отвечает как поглощению антипротонов, так и более сильному поглощению пионов.

4. Заключение

Проведенный анализ показал, что КЭМ способна описать отсутствие A-зависимости антипротонных выходов при малых импульсах, измеренное в работах [3,4], лишь в предположении об аномально слабом поглощении антипротонов в ядрах. Ранее такой же вывод был сделан авторами работы [10], изучавшим образование адронов малых импульсов в адрон-ядерных столкновениях при энергии 10 ГэВ . Однако, при анализе экспериментальных данных [3,4] в рамках АКМ, такое предположение оказывается излишним и полное адронное сечение взаимодействия "включается" на расстояниях порядка $\sim 1 \text{ ферми}$ от точки соударения.

Из анализа A-зависимости пионных спектров следует, что поглощение пионов для объяснения экспериментальных данных работ [3,4] должно быть существенно более сильным, чем для антипротонов: в КЭМ значение параметра $\mu^2 \approx 0,25+2 \text{ ГэВ}^2$ и в АКМ

$\mu^2 \gtrsim 2 \text{ ГэВ}^2$. Необходимо отметить, что оценка длины формирования для пионов малых импульсов $\mu^2 \sim 2 \text{ ГэВ}^2$ может быть некорректной, т.к. соответствующие длины формирования для вторичных пионов оказываются меньше адронных размеров ($< 1 \text{ ф}$). Это может служить указанием на то, что пионы даже столь малых импульсов ($p_T \sim 2+3 \text{ ГэВ}/c$) рождаются за счет фрагментационного механизма генерации вторичных частиц.

Рассмотрение A-зависимости отношение выходов антипротонов и отрицательных пионов в рамках КЭМ также подтверждает вывод авторов работы [10] о слабом поглощении антипротонов малых импульсов в ядрах. Анализ этого отношения в АКМ для объяснения постоянства \bar{p}/π^- в широком интервале импульсов частиц, когда

их сечения поглощения сильно меняются, не требует привлечения гипотезы об аномально слабом поглощении антiproтонов малых импульсов в ядрах.

В заключение, авторы выражают свою благодарность Л.М.Баркову за внимание и поддержку этой работы.

Л и т е р а т у р а

1. V.V. Anisovich, Yu.M. Shabelski, V.M. Shekter, Nucl. Phys., B133 (1978) 477.
2. A. Capella, A. Krzywicki, Phys. Rev., D18 (1978) 3357.
3. Л.М.Барков и др. ЯФ, 1982, 35, II86.
4. Л.М.Барков и др. Препринт ИЯФ 82-42, Новосибирск, 1982.
5. Ю.П.Никитин и др. УФН, 1977, 121, вып.3.
6. Н.Н.Николаев, УФН, 1981, 134, вып.3.
7. Ю.М.Шабельский, ЭЧАЯ, 1981, 12, вып.5.
Ю.М.Шабельский. Доклад на XIII Зимней школе ЛИИФ, Ленинград, 1978.
8. O.V. Zhirov, preprint INP 81-30, preprint INP 81-58, Novosibirsk, 1981.
9. Compilation of diff. cross sections π -induced reactions, CERN/HERA, 75-2, Geneva, 1975.
Compilation of cross sections, CERN/HERA, 79-01, Geneva, 1979.
10. А.О.Вайсенберг и др., Письма в ЖЭТФ, 1979, 29, 719.
11. Г.В.Давиденко, Н.Н.Николаев. ЯФ, 1976, 24, 772.
12. N.N. Nikolaev, A.Yu. Ostapchuk, preprint CERN/TH 2575, 1978.
С.А.Волошин, Ю.П.Никитин, П.И.Порфирьев, ЯФ, 1980, 31, 762.

Подписи к рисункам

Рис.1.

а) Сравнение предсказаний квазийональной модели (КЭМ) для A -зависимости выходов антiproтонов малых импульсов с экспериментальными данными работ [3,4]. При сравнении используется величина

$$\alpha = \ln \left[\left(\frac{d^3N}{dp^3} \right)^w / \left(\frac{d^3N}{dp^3} \right)^{Ae} \right] / \ln \left(\frac{A^w}{A^{Ae}} \right).$$

Расчеты произведены при различных значениях параметра μ^2 , определяющего длину формирования адрона:
 $l_\varphi = P/\mu^2 (\Gamma \cdot B^{-1})$.

Знакок \pm - указывает величину абсолютной ошибки нормировки расчетных кривых для величины α .

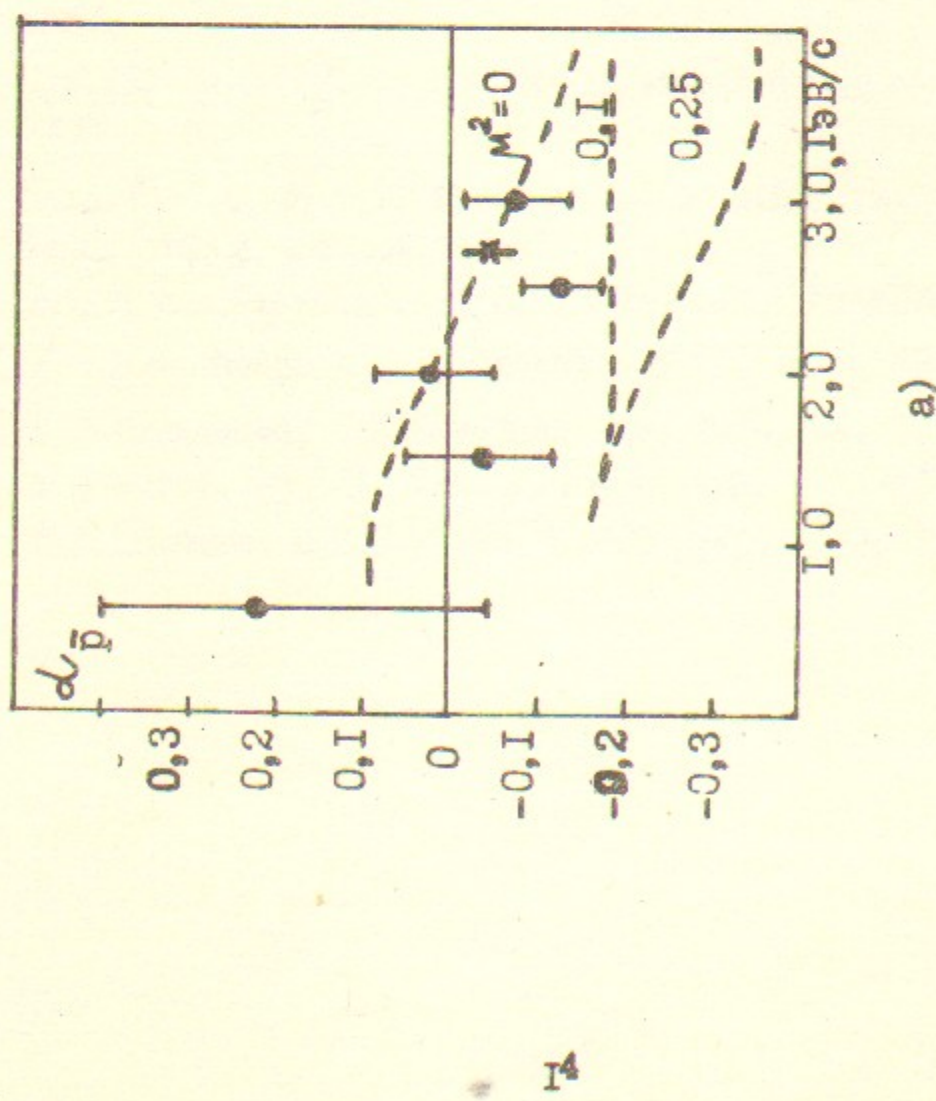
б) То же, но в рамках АКМ.

Рис.2.

Сравнение предсказаний КЭМ и АКМ для пионов.

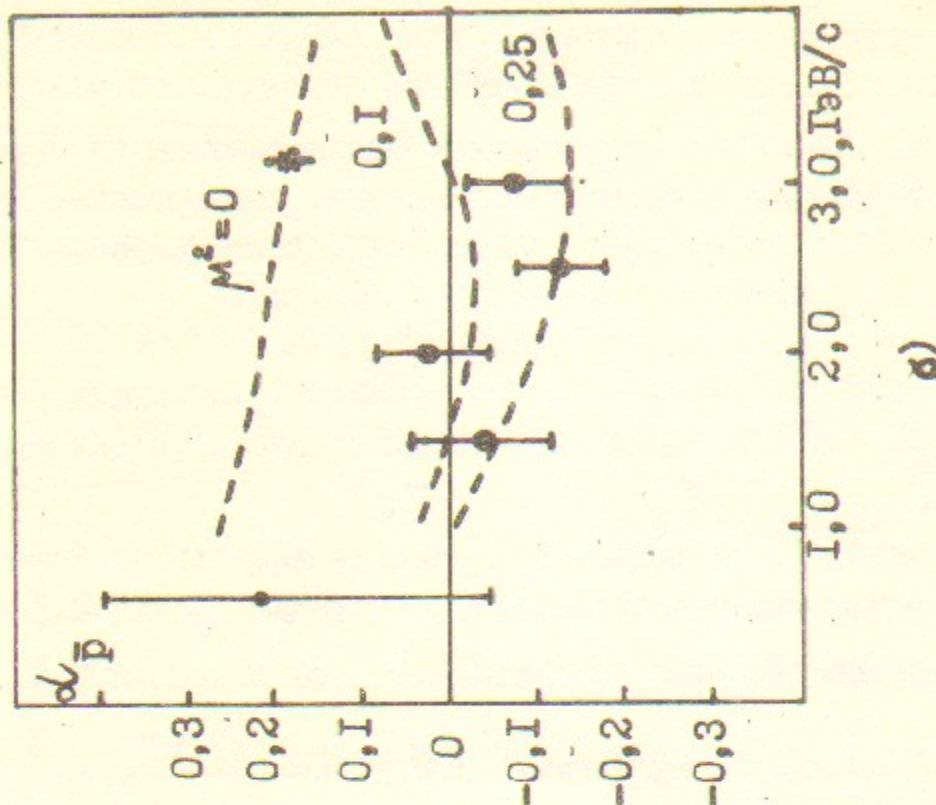
Рис.3.

Сравнение предсказаний КЭМ и АКМ для отношения \bar{P}/π^- .

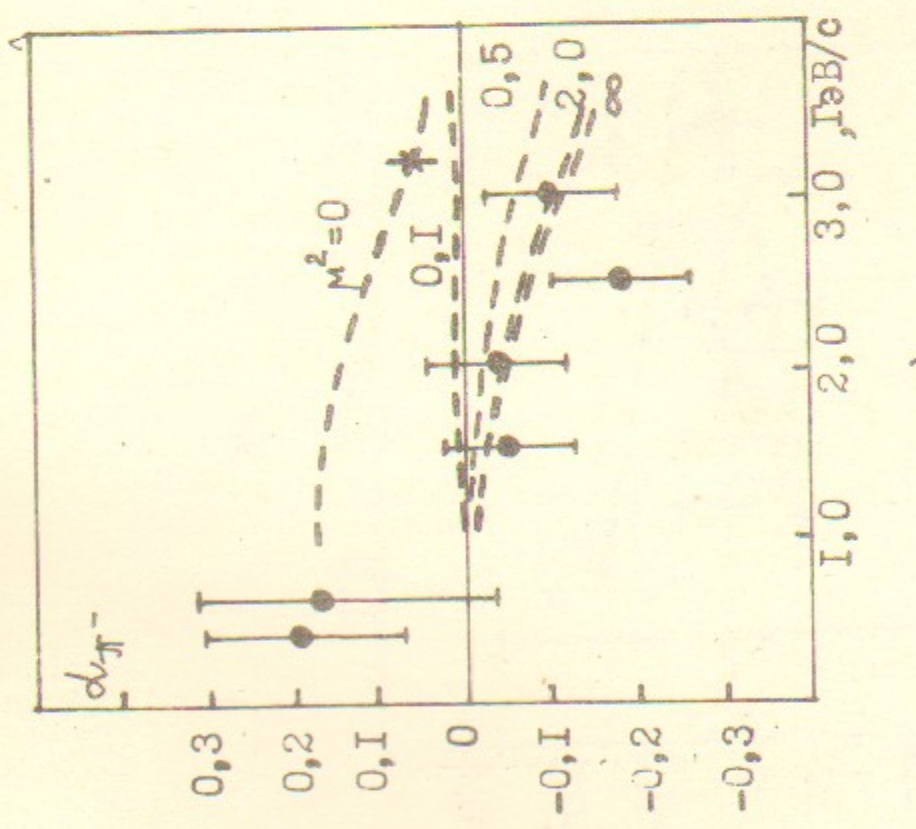


a)

Pic. I

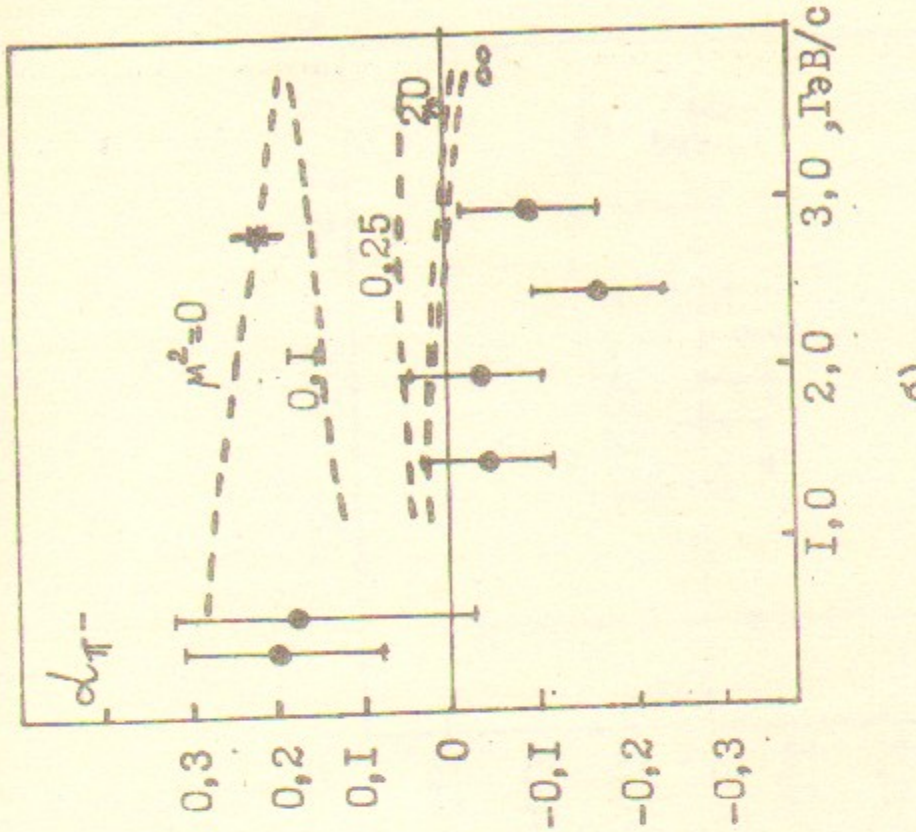


b)

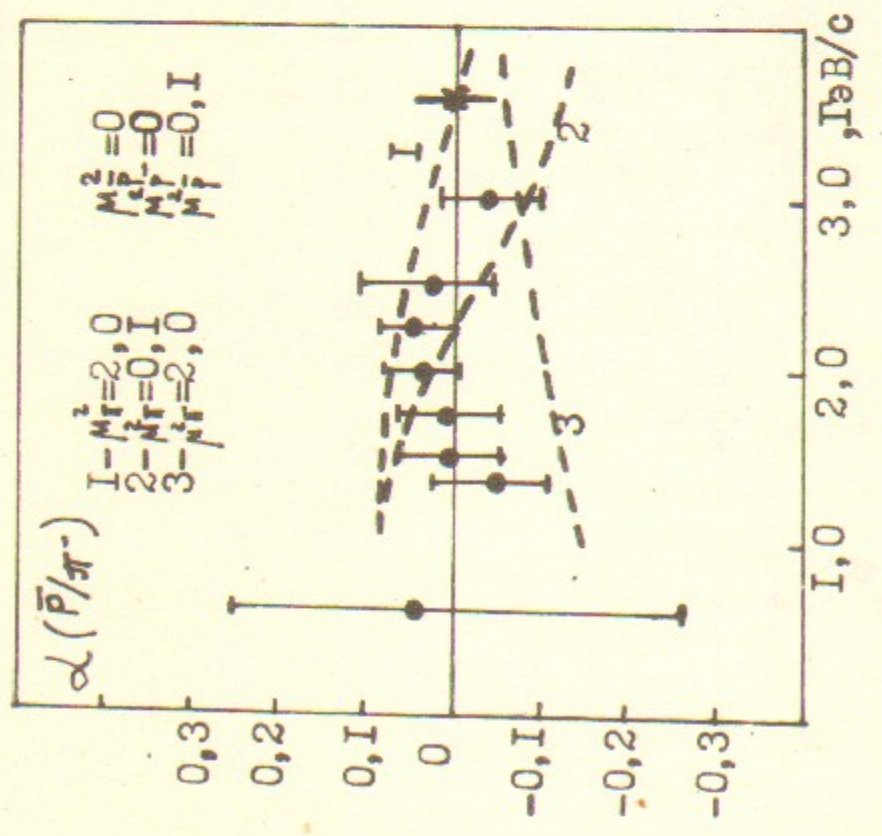


a)

Pic. 2

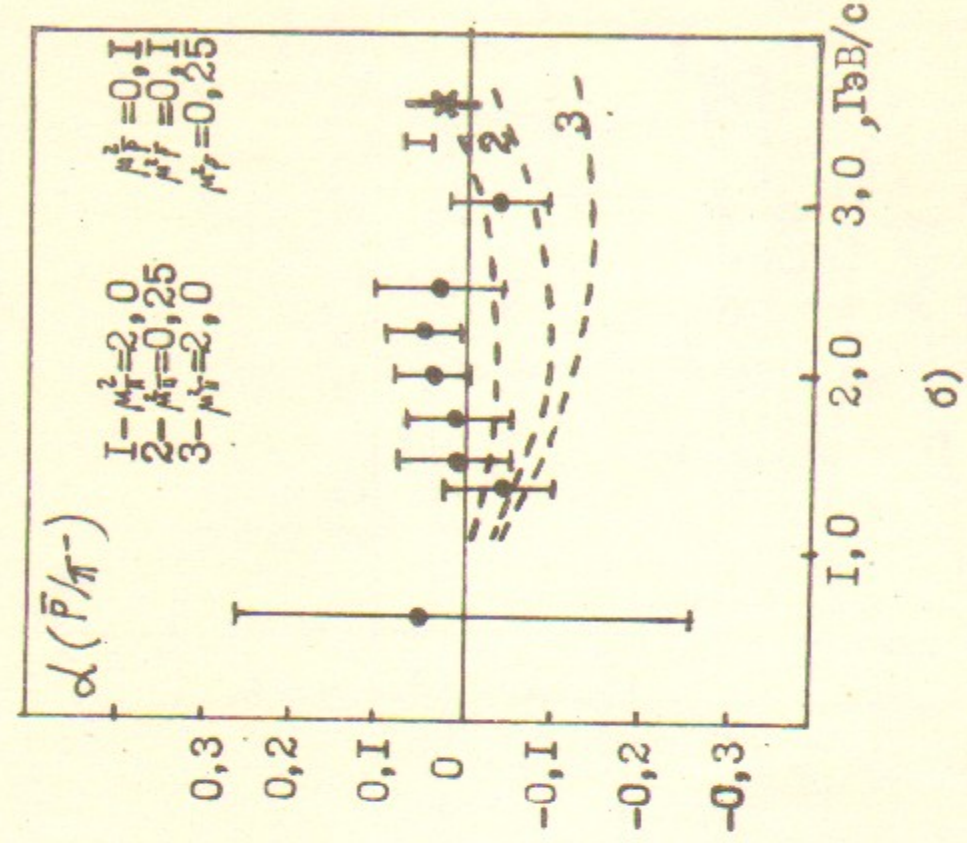


b)



a)

FIG. 3



b)